

## 5 ЭКСПЕРИМЕНТАЛЬНОЕ ОПРЕДЕЛЕНИЕ ХАРАКТЕРИСТИК СОПРОТИВЛЕНИЯ КОНТАКТНО-МЕХАНИЧЕСКОЙ УСТАЛОСТИ

**5.1 Цель:** экспериментально определить характеристики трения и изнашивания при КМУ (обратный эффект).

**5.2 Применяемые приборы и оборудование:** испытательные машины серии СИ, объекты испытаний: трибофатические системы (образцы и контробразцы).

### 5.3 Схема испытаний на КМУ

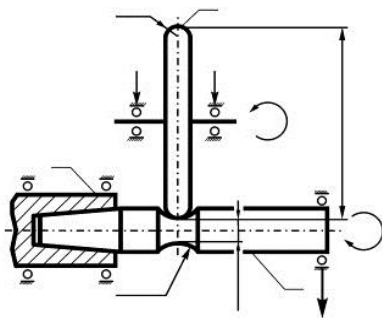


Рисунок 5.1 – \_\_\_\_\_  
\_\_\_\_\_  
\_\_\_\_\_

\_\_\_\_\_  
\_\_\_\_\_  
\_\_\_\_\_  
\_\_\_\_\_  
\_\_\_\_\_

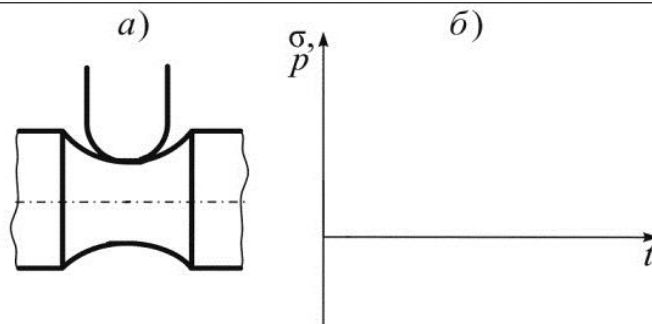


Рисунок 5.2 – \_\_\_\_\_  
\_\_\_\_\_

### 5.4 Кривые КМУ и их параметры

\_\_\_\_\_  
\_\_\_\_\_  
\_\_\_\_\_  
\_\_\_\_\_

					Лабораторная работа №5			
Изм.	Лист	№ докум.	Подпись	Дата				
Разраб.					Экспериментальное определение характеристик контактно-механической усталости	Лит.	Лист	Листов
Провер.	Тюрин						1	4
						ГГТУ им. П.О. Сухого гр.		

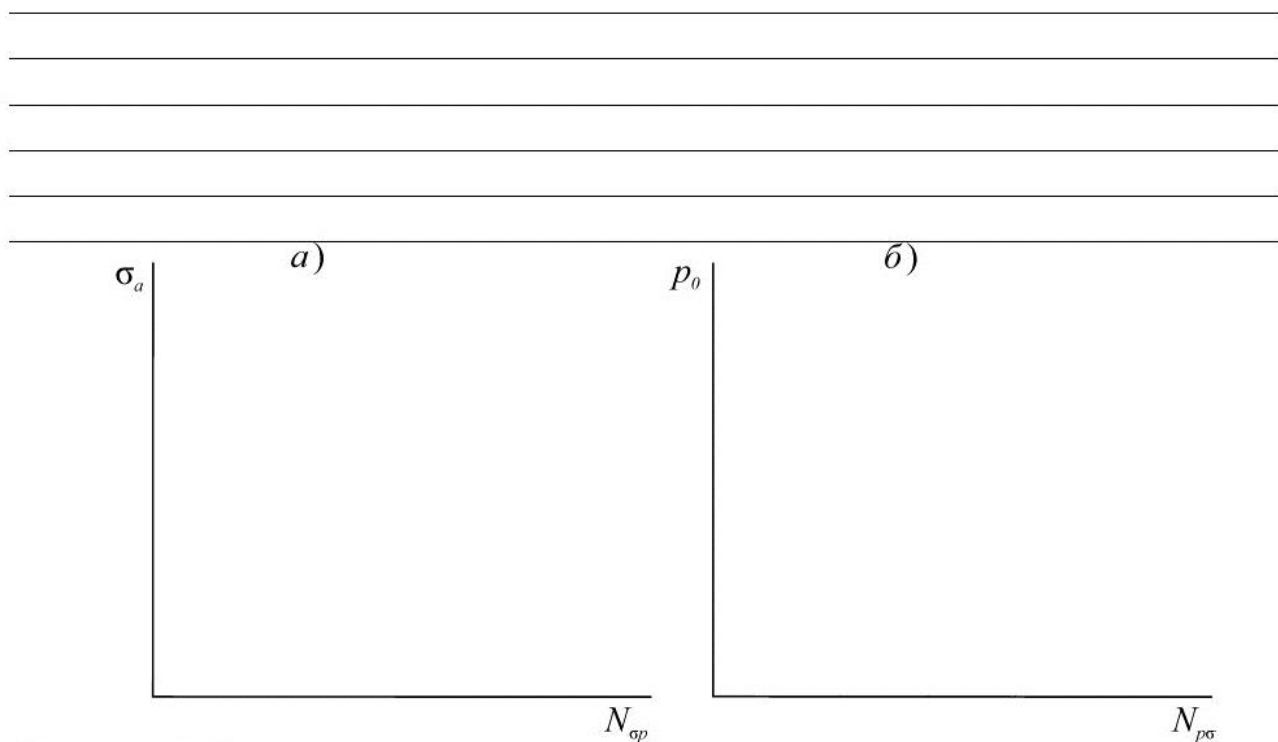


Рисунок 5.3 – \_\_\_\_\_

## 5.5 Ускоренный метод многоступенчатого нагружения

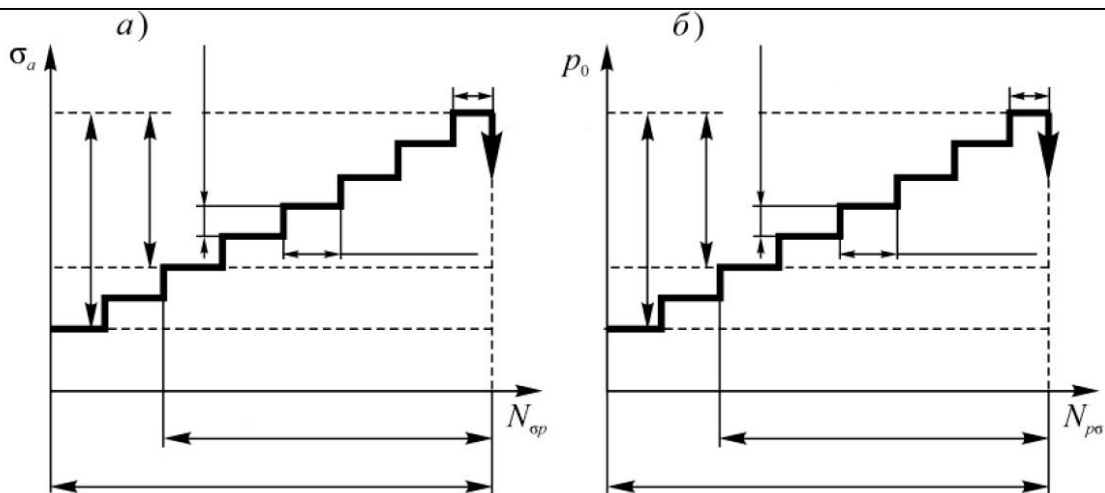


Рисунок 5.4 – \_\_\_\_\_

## 5.5 Экспериментальное определение характеристик трения и изнашивания при КМУ (ОЭ)

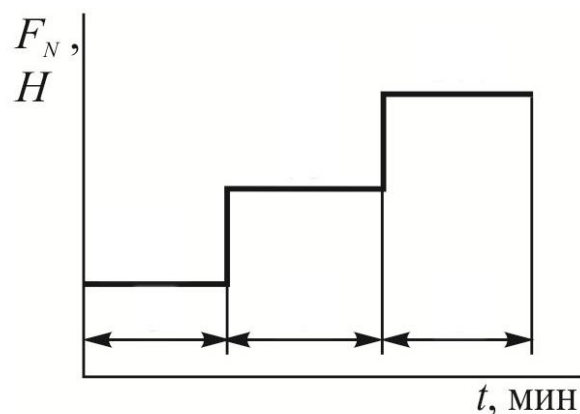


Рисунок 5.5 – \_\_\_\_\_

---

---

---

---

---

---

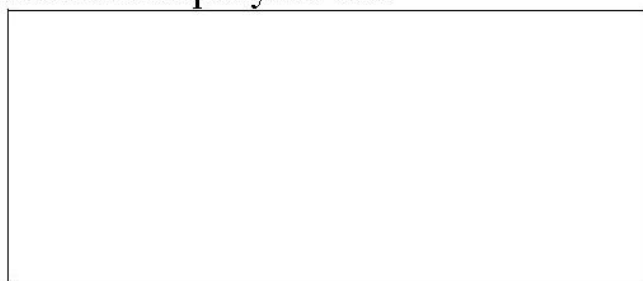
---

---

№ ступени	$\sigma_w$ , МПа	$F_N$ , Н	$p_0$ , МПа	$N_{\Sigma p\sigma}$ , цикл	$t_{\Sigma p\sigma}$ , мин	$\delta_c$ , мкм

### 5.6 Изучение характера повреждений

Характер повреждения поверхности образца после проведения испытаний показан на рисунке 5.6.




---

---

---

---

---

---

---

Рисунок 5.6 – \_\_\_\_\_

---

---

### 5.7 Выводы

---

---

---

---

---

---

---

Дата \_\_\_\_\_

Отметка о защите работы  
(подпись преподавателя) \_\_\_\_\_